

Figure 11 : Graphique représentant l'évolution de la vitesse de pointe (rad/s) moyenne au fil des cycles (a) et la p-value correspondante entre les valeurs de LBP et de NLBP (b) sur le gyroscope Y du capteur 0 (Th12) (a)

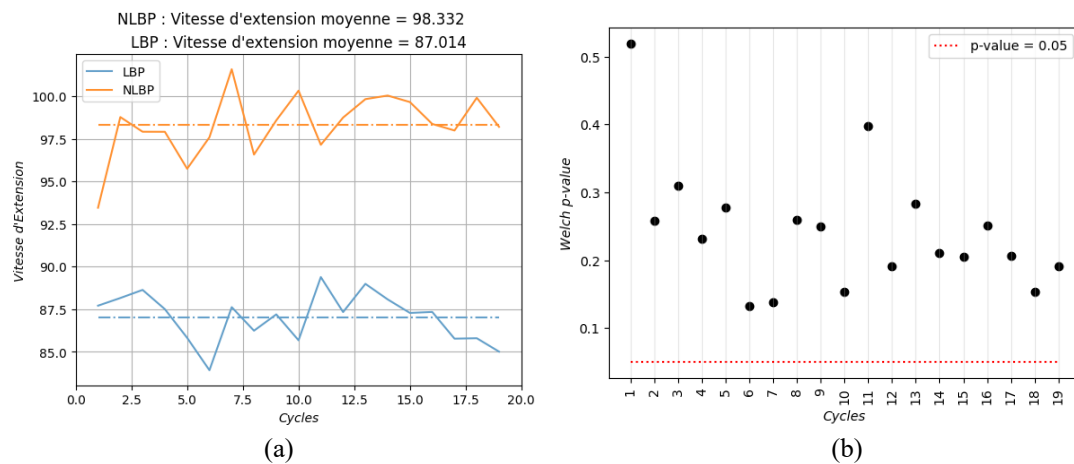


Figure 12 : Graphique représentant l'évolution de la vitesse d'extension moyenne au fil des cycles (a) et la p-value correspondante entre les valeurs de LBP et de NLBP (b) sur le gyroscope Y du capteur 0 (Th12) (a)

Un autre paramètre étudié était la vitesse d'extension. Elle représente la valeur maximale absolue de vitesse angulaire atteinte durant la phase de décélération, soit la vitesse de redressement de la personne. Encore une fois les moyennes sont distinctes, les NLBP présentent une vitesse d'extension moyenne de 98.332 deg/s, plus importante encore que les LBP moyennés à 87.014 deg/s. Cependant, les valeurs aux différents cycles ne présentent pas de différences significatives entre les 2 populations ([Figure 12](#)).

A partir de la différence de durée entre la phase d'accélération et celle de décélération le rapport de symétrie a été calculé. Un mouvement idéalement symétrique a un rapport de